

APÉNDICE II

RELACIONES DE LARGO PLAZO POR EL MÉTODO DE ENGLE-GRANGER

RELACIÓN DE PARIDAD DE PODER DE COMPRA (PPC)

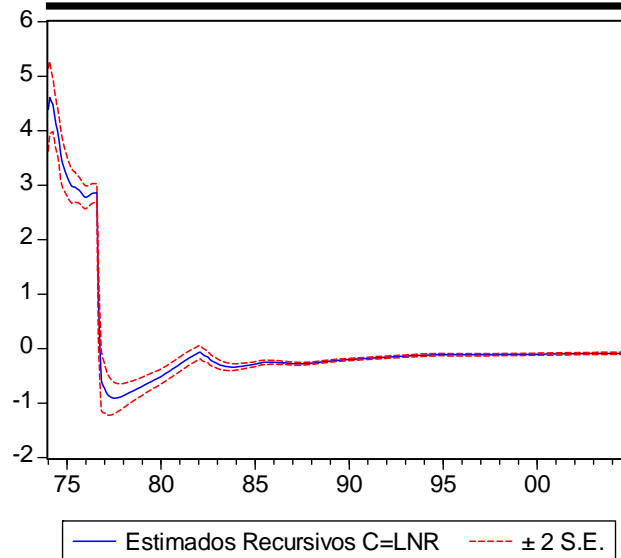
Tabla A2.1: Regresión de cointegración, PPC

Variable	Coefficiente	Error Est.	Estadístico-t	Prob.
Variable Dependiente: LNP				
Muestra: 1973:01 2004:12				384 obs.
C	-0.083540	0.010096	-8.274645	0.0000
LNSPEU	0.988312	0.003036	325.5708	0.0000
R-cuadrada	0.996409	R-cuadrada Ajustada	0.996400	
E.E. de regresión	0.177907	SRC	12.09068	
Log Verosímil	119.1034	Durbin-Watson	0.057348	

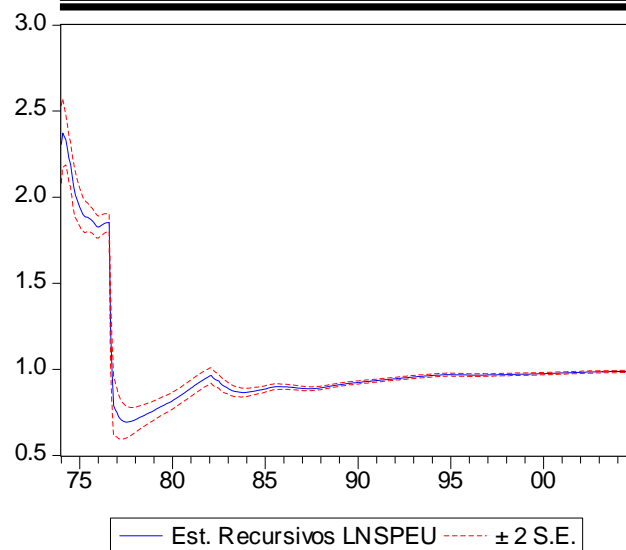
La ecuación queda como $LNP = -0.08 + 0.98LNSPEU$. El logaritmo del tipo de cambio real $LNR = LNSPEU - LNP$ está cerca de cero, lo que indica que el tipo de cambio real en la ecuación es prácticamente igual que uno.

Estimados recursivos de los parámetros:

Gráfica A2.1: ER para la PPC, constante



Gráfica A2.2: ER para la PPC, pendiente



Se puede observar un ligero aumento en el coeficiente estimado de pendiente a partir de 1987, después de 1995 la relación es muy estable. A continuación la prueba de estacionariedad sobre los residuos $CEPPC = LNP + 0.08 - 0.98LNSPEU$:

Tabla A2.2: Prueba de cointegración PPC

Hipótesis Nula: CEPPC tiene una raíz unitaria
 Rezagos: 9 (AIC, MAXREZ=16)

	Estadístico-t	Prob.
Estadístico de prueba ADF	-2.904827	0.0037
Valores críticos:		
Nivel 1%	-2.571160	
Nivel 5%	-1.941673	
Nivel 10%	-1.616131	

RELACIÓN DE EQUILIBRIO EN EL MERCADO LABORAL

Tabla A2.3: Regresión de cointegración, mercado laboral

Variable	Coeficiente	Error Est.	Estadístico-t	Prob.
Variable Dependiente: LNWC				
Muestra: 1973:01 2004:12				384 obs.
C	4.621758	0.009093	508.3018	0.0000
LNP	0.972824	0.002842	342.3184	0.0000
R-cuadrada	0.996751	R-cuadrada Ajustada		0.996742
E.E. de regresión	0.164901	SRC		10.38753
Log Verosímil	148.2546	Durbin-Watson		0.926946

La ecuación de cointegración en el mercado laboral queda como $LNWC = 4.62 + 0.97LNP$. A continuación la gráfica de los estimados recursivos para LNP y la prueba de estacionariedad sobre los residuos de la regresión de cointegración:

Gráfica A2.3: ER mercado laboral, pendiente

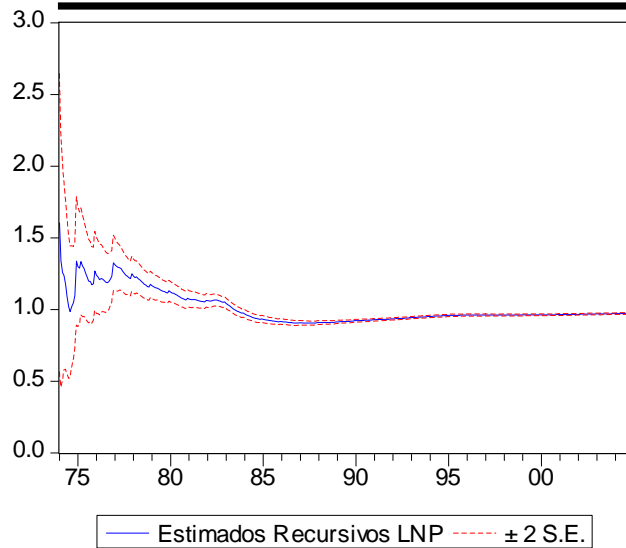


Tabla A2.4: Prueba de cointegración, mercado laboral

Hipótesis Nula: CEW tiene una raíz unitaria
 Rezagos: 14 (AIC, MAXREZ=16)

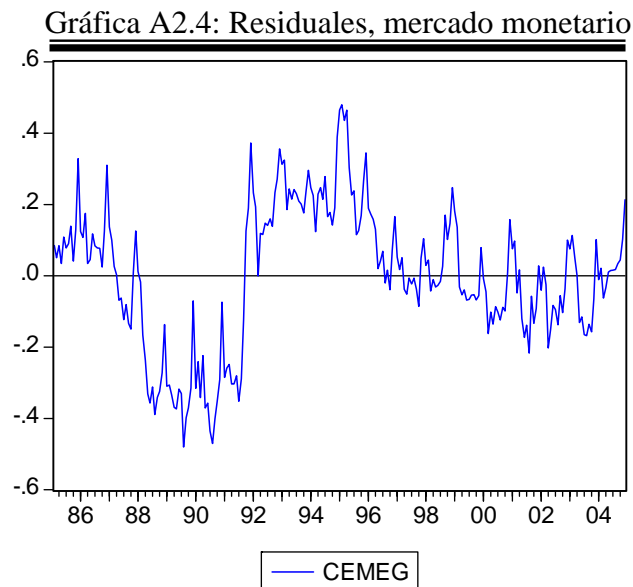
	Estadístico-t	Prob.
Estadístico de prueba ADF	-2.834117	0.0046
Valores críticos:		
Nivel 1%	-2.571244	
Nivel 5%	-1.941685	
Nivel 10%	-1.616124	

RELACIÓN DE EQUILIBRIO EN EL MERCADO MONETARIO

Tabla A2.5: Regresión de cointegración, mercado monetario

Variable Dependiente: LNM1				
Muestra: 1985:02 2004:12				239 obs.
Variable	Coefficiente	Error Est.	Estadístico-t	Prob.
C	11.05326	0.188825	58.53718	0.0000
LNPY	1.029455	0.014625	70.38932	0.0000
LNI28	-0.308908	0.025343	-12.18915	0.0000
R-cuadrada	0.986801	R-cuadrada Ajustada	0.986689	
E.E. de regresión	0.197675	SRC	9.221766	
Log Verosímil	49.83388	Durbin-Watson	0.187775	

La ecuación de cointegración queda como $LNM1 = 11.05 + 1.02LNPY - 0.30LNI28$, la estimación confirma la concavidad de la función de velocidad del dinero. A continuación el gráfico de los residuos de la regresión (CEMEG):



Prueba de estacionariedad sobre los residuos:

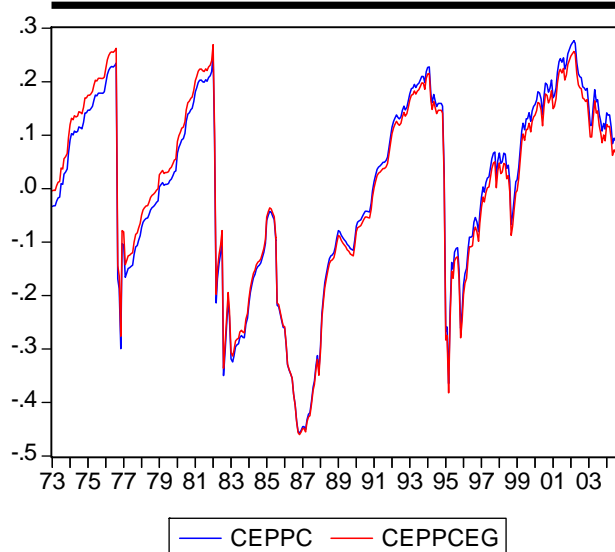
Tabla A2.6: Prueba de cointegración, mercado monetario

Hipótesis Nula: CEM tiene una raíz unitaria
 Rezagos: 12 (AIC, MAXREZ=14)

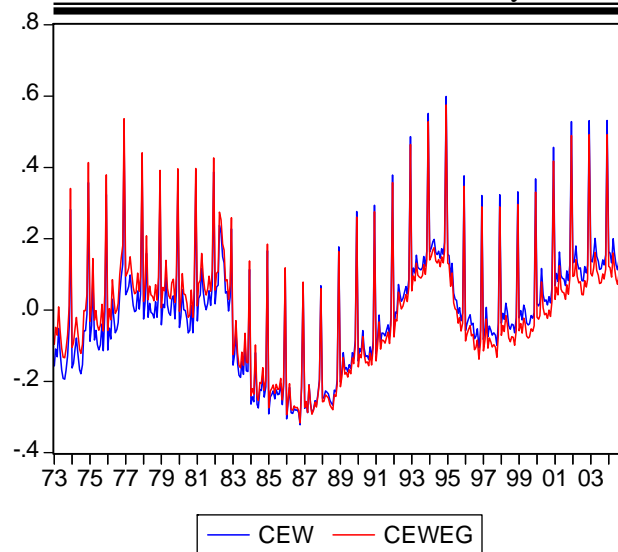
	Estadístico-t	Prob.
Estadístico de prueba ADF	-2.319644	0.0200
Valores críticos:		
Nivel 1%	-2.575234	
Nivel 5%	-1.942236	
Nivel 10%	-1.615764	

COMPARACIÓN DE TÉRMINOS DE CORRECCIÓN DE ERROR: MÉTODO DE JOHANSEN Y MÉTODO DE ENGLE-GRANGER

Gráfica A2.5: Términos de corrección de error para la PPC, método EG y JOH



Gráfica A2.6: Términos de corrección de error, mercado laboral, método EG y JOH



Se puede observar que los dos métodos presentan resultados análogos, en las estimaciones del MCE no se obtuvo algún cambio que se pudiera considerar.

MCE: MÉTODO DE ENGLE-GRANGER

Tabla A2.7: MCE, modelo sin cambio estructural, método de EG

Variable	Coefficiente	Error Est.	Estadístico-t	Prob.
C	0.015527	0.004143	3.747607	0.0002
CEPPCEG(-1)	-0.035506	0.004533	-7.832090	0.0000
CEWEG(-1)	0.022733	0.005138	4.424492	0.0000
D(LNP(-1))	0.554146	0.035056	15.80727	0.0000
D(LNSPEU)	0.053048	0.009105	5.826035	0.0000
D(LNWC)	0.048661	0.010442	4.660119	0.0000
D(LNAYC)	0.145405	0.009880	14.71660	0.0000
BRECHA	0.029874	0.007961	3.752352	0.0002

D2	-0.029974	0.005325	-5.628670	0.0000
D3	-0.019883	0.006085	-3.267499	0.0013
D4	-0.025662	0.006870	-3.735162	0.0002
D5	0.002167	0.006294	0.344310	0.7309
D6	-0.003901	0.005633	-0.692500	0.4893
D7	-0.013299	0.004267	-3.116845	0.0021
D8	-0.013177	0.004413	-2.985726	0.0031
D9	-0.008147	0.004534	-1.797100	0.0736
D10	-0.000709	0.005267	-0.134676	0.8930
D11	-0.022039	0.005479	-4.022349	0.0001
D12	-0.026781	0.007666	-3.493564	0.0006
D(LNP(-4))	-0.142626	0.043940	-3.245917	0.0013
D(LNP(-8))	0.087880	0.038038	2.310291	0.0218
D(LNP(-12))	0.173442	0.048345	3.587584	0.0004
D(LNP(-13))	-0.079377	0.034733	-2.285358	0.0232
D(LNWC(-2))	0.033721	0.010570	3.190159	0.0016
D(LNWC(-3))	0.041313	0.012535	3.295788	0.0011
D(LNWC(-4))	0.069936	0.012244	5.711911	0.0000
D(LNWC(-5))	0.028088	0.010157	2.765346	0.0061
D(LNWC(-10))	-0.022663	0.008781	-2.580989	0.0105
D(LNAYC(-2))	-0.021029	0.008921	-2.357364	0.0192
D(LNAYC(-4))	0.034107	0.011346	3.006215	0.0029
D(LNAYC(-8))	-0.023932	0.010912	-2.193175	0.0293
D(LNAYC(-9))	-0.039146	0.008464	-4.625017	0.0000
D(LNAYC(-12))	-0.039258	0.011471	-3.422350	0.0007
<hr/>				
R-cuadrada	0.964732	R-cuadrada Ajustada	0.959826	
E.E. de regresión	0.004658	SRC	0.004990	
Log Verosímil	1056.549	Durbin-Watson	1.959855	
<hr/>				